

ORIGINAL ARTICLE

Protective Effect of Pentoxyfylline on Amikacin-Induced Renal Toxicity in Mice

Mohammad Shokati Sayad¹,

Zahra Ramezanpour²,

Fereshteh Talebpour Amiri³,

Sholeh Akbari¹,

Maloo Naderi¹,

Fatemeh Shaki^{4,5,6}

¹ PhD Candidate of Toxicology, Student Research Committee, Mazandaran University of Medical Sciences, Sari, Iran

² Student of Pharmacy, Department of Toxicology and Pharmacology, Faculty of Pharmacy, Mazandaran University of Medical Sciences, Sari, Iran

³ Associate professor, Department of Anatomy, Molecular and Cell Biology Research Center, Faculty of Medicine, Mazandaran University of Medical Sciences, Sari, Iran

⁴ Associate professor, Pharmaceutical Sciences Research Center, Hemoglobinopathy Institute, Mazandaran University of Medical Sciences, Sari, Iran

⁵ Department of Toxicology and Pharmacology, Faculty of Pharmacy, Mazandaran University of Medical Sciences, Sari, Iran

⁶ The Health of Plant and Livestock Products Research Center, Mazandaran University of Medical Sciences, Sari, Iran

(Received October 9, 2022 ; Accepted July 16, 2023)

Abstract

Background and purpose: Amikacin (AMK) is a commonly used aminoglycoside antibiotic with rapid onset of action, low cost, and high antibacterial efficacy. However, its long-term use has been associated with kidney toxicity, which is a significant concern for patients. Hence, the present study was designed to evaluate the protective effect of pentoxyfylline (PTX) against amikacin-induced nephrotoxicity in male mice.

Materials and methods: Forty-two Balb/c mice were allocated to seven groups as follows: I, control; II, AMK (500 mg/kg/day); III to V, received AMK plus PTX (50,100,200 mg/kg/day); VI, AMK plus vitamin C (500 mg/kg/day); and VII, PTX alone (200 mg/kg). All the treatment was done intraperitoneally for 15 consecutive days. Then, kidney tissues were separated and several factors including level of reactive oxygen species (ROS), protein carbonyl (PrC), lipid peroxidation (LPO), antioxidant content (glutathione), nitric oxide (NO) production, and expression of apoptosis-related genes (Bax and Bcl-2) were evaluated. Also, evaluation of biochemical parameters (BUN and Cr) as well as histopathological changes were performed.

Results: Administration of AMK led to significant changes in tissue pathology and the level of BUN and Cr. AMK significantly promoted ROS, LPO, PrC, and NO levels in kidney while it reduced GSH storage. Also, AMK injection led to significant increase in Bax/Bcl2 expression ratio. PTX alleviated oxidative stress markers and nitric oxide induced by AMK in kidney tissue. Moreover, AMK recovered biochemical and pathological changes associated with AMK. PTX treatment decreased the Bax expression and increased the expression of Bcl-2 significantly.

Conclusion: Pentoxyfylline showed protective effects against amikacin-induced nephrotoxicity which may be attributed to its antioxidant activity and anti-apoptotic effects. So, it can be considered as a therapeutic approach against toxic effects of amikacin in kidney tissue.

Keywords: amikacin, pentoxyfylline, renal toxicity, oxidative damage, apoptosis

J Mazandaran Univ Med Sci 2023; 33 (225): 1-15 (Persian).

Corresponding Author: Fatemeh Shaki - Faculty of Pharmacy, Mazandaran University of Medical Sciences, Sari, Iran.
(E-mail: fshaki.tox@gmail.com)

اثر محافظتی پنتوکسی فیلین بر روی سمیت کلیوی ناشی از آمیکاسین در موش‌های سوری

محمد شوکتی صیاد^۱

زهرا رمضانپور^۲

فرشته طالب پور امیری^۳

شعله اکبری^۱

ملوس نادری^۱

فاطمه شکی^{۴ و ۶}

چکیده

سابقه و هدف: آمیکاسین یک آنتی‌بیوتیک آمینوگلیکوزیدی رایج با شروع عمل سریع، هزینه کم و اثربخشی آنتی‌باکتریال بالا است. با این حال، مصرف طولانی مدت آن با سمیت کلیوی همراه می‌باشد که این امر نگرانی قابل توجهی برای بیماران است. از این رو مطالعه حاضر به منظور ارزیابی اثر محافظتی پنتوکسی فیلین در برابر نفروتوکسیستی ناشی از آمیکاسین در موش‌های سوری نر طراحی شده است.

مواد و روش‌ها: در این مطالعه از 42 سرموش سوری نر بالغ نژاد c/Balb استفاده شد، که در 7 گروه تقسیم شدند. گروه‌ها شامل I (کنترل)، II (آمیکاسین، 500mg/kg/day)، III (آمیکاسین با پنتوکسی فیلین 100)، IV (آمیکاسین با 200 mg/kg/day)، V (آمیکاسین با 500mg/kg/day) و VII (پنتوکسی فیلین به تهایی با دوز 200mg/kg/day) بود. تمامی تجویزها به صورت داخل صفاقی برای 15 روز پشت سرهم انجام شد. سپس بافت‌های کلیه جدا شد و فاکتورهای مختلفی از جمله ذرات فعال اکسیژن (ROS)، پروتئین کربونیل (PrC)، لیپیدپراکسیداسیون (LPO)، محتوای آنتی‌اکسیدانی (گلوتاتیون) و بیان ژن‌های آپوپتوز (Bax و Bcl2) در این بافت ارزیابی شد. هم‌چنین، سطوح سرمی اوره خون و کراتینین و تغییرات بافت شناسی مورد بررسی قرار گرفت. یافته‌ها: در این مطالعه تجویز آمیکاسین منجر به تغییرات قابل توجه در پاتولوژی بافت و هم‌چنین سطح اوره و کراتینین شد. هم‌چنین باعث افزایش قابل توجهی در سطوح ROS، PrC و LPO در بافت کلیه شد و ذخایر گلوتاتیون احیا را کاهش داد ($P<0/05$). آمیکاسین باعث افزایش معنی داری در نسبت بیان 2 Bax/Bcl2 نیز گردید ($P<0/05$). بعلاوه، پنتوکسی فیلین مارکرهای استرس اکسیداتیو القا شده توسط آمیکاسین را تخفیف داد. علاوه بر این، تغییرات بیوشیمیابی و پاتولوژیک ناشی از آمیکاسین را بهبود بخشید. هم‌چنین، تیمار با پنتوکسی فیلین بیان ژن 2 Bcl2 را به طور معنی داری افزایش داد ($P<0/05$). استنتناج: پنتوکسی فیلین اثرات محافظتی قابل توجهی در برابر سمیت کلیوی ناشی از آمیکاسین نشان داد که احتمالاً به دلیل خاصیت آنتی‌اکسیدانی، ضد التهابی و ضد آپوپتوزیک آن می‌باشد. بنابراین می‌توان آن را به عنوان یک عامل درمانی در برابر اثرات سمی ناشی از آمیکاسین در بافت کلیه موثر در نظر گرفت.

واژه‌های کلیدی: آمیکاسین، پنتوکسی فیلین، سمیت کلیوی، آسیب اکسیداتیو، آپوپتوز

مقدمه

آمیکاسین یک نوع آنتی‌بیوتیک پرمصرف از دسته آمینوگلیکوزیدها محسوب می‌شود، که در عفونت‌های و عفونت دستگاه ادراری استفاده می‌شود (۱). عوارض

E-mail: fshaki.tox@gmail.com

مؤلف مسئول: فاطمه شکی - ساری: کیلومتر ۱۷ جاده فرح آباد، مجتمع دانشگاهی پامیر اعظم، دانشکده داروسازی

۱. دانشجوی دکرای تخصصی سمندانی، کمیته تحقیقات دانشجویی، دانشگاه علوم پزشکی مازندران، ساری، ایران

۲. دانشجوی دکرای عمومی داروسازی، گروه سمندانی و فارماکولوژی، دانشکده داروسازی، دانشگاه علوم پزشکی مازندران، ساری، ایران

۳. دانشیار، گروه آناتومی، مرکز تحقیقات سلولی و مولکولی، دانشگاه علوم پزشکی مازندران، ساری، ایران

۴. دانشیار، مرکز تحقیقات علوم دارویی، پژوهشکده هموگلوبینوپاتی، دانشگاه علوم پزشکی مازندران، ساری، ایران

۵. گروه سمندانی و فارماکولوژی، دانشکده داروسازی، دانشگاه علوم پزشکی مازندران، ساری، ایران

۶. مرکز تحقیقات سلامت فراورده های گیاهی و دامی، دانشگاه علوم پزشکی مازندران، ساری، ایران

۷. تاریخ دریافت: ۱۴۰۱/۹/۱۸ تاریخ ارجاع جهت اصلاحات: ۱۴۰۲/۱/۲۶ تاریخ تصویب: ۱۴۰۲/۴/۲۵

در مطالعه‌ای که توسط Ozer و همکاران در سال 2020 انجام شد، نشان داده شد که سمیت کلیوی آمیکاسین با افزایش فاکتورهای استرس اکسیداتیو و پروتئین‌های آپوپتوزی در ارتباط است و در این مطالعه تیموکینون (Thymoquinone) از طریق اثرات آنتی‌اکسیدانت منجر به کاهش سمیت کلیوی ناشی از آمیکاسین در موش‌های صحرایی شد(6). هم‌چنین در مطالعه‌ی دیگری که در سال 2023 انجام شد تیموکینون باعث کاهش استرس اکسیداتیو و آپوپتوز ناشی از آمیکاسین و در نتیجه مهار سمیت عصبی ناشی از آن در موش‌های صحرایی شد(13). در مطالعه دیگری که توسط Parlakpinar و همکاران در سال 2003 در موش‌های صحرایی انجام شد، ملاتونین از طریق اثرات آنتی‌اکسیدانی و جاروب‌کنندگی رادیکال‌های آزاد منجر به کاهش سمیت کلیوی ناشی از ملاتونین شد. بنابراین استفاده از ترکیباتی با خاصیت آنتی‌اکسیدانی و مهارکنندگی آپوپتوز می‌تواند در کاهش سمیت کلیوی آمیکاسین موثر باشد(12).

پنتوکسی‌فیلین (Pentoxifylline) یک مهارکننده فسفودی استراز غیراختصاصی است که باعث افزایش آدنوزین منوفسفات حلقوی (cAMP) می‌شود که منجر به گشادی عروق و بهبود خونرسانی به اندام شده و در درمان بیماری‌های عروقی استفاده می‌شود(14). این ترکیب یک مشتق گزانیتی است که اثرت درمانی مختلفی مانند اثرات ضدالتهابی، ضد فیبرоз و آنتی‌اکسیدانی از آن گزارش شده است(15).

در مطالعات مختلف نشان داده شده است که پنتوکسی‌فیلین قادر به کاهش لیپیدپراکسیداسیون و هم‌چنین افزایش فعالیت آنزیم‌های آنتی‌اکسیدان مانند کاتالاز، سوپراکسید دسموتاز و گلوتاتیون پراکسیداز در آسیب‌های کلیوی ناشی از داروها و سموم مختلف در مدل‌های حیوانی شده است که در کاهش سمیت کلیوی موثر می‌باشد(18-16). بنابراین پیشنهاد شده است که خواص آنتی‌اکسیدانی و ضد التهابی پنتوکسی‌فیلین در اثرات محافظت کلیوی این ترکیب دخالت دارد. حال هدف ما

جانبی آمیکاسین مشابه سایر آمینوگلیکوزیدها شامل آسیب کلیوی و سمیت گوش است که در 1-10 درصد از بیماران رخ می‌دهد(2). تصور می‌شود که سمیت کلیوی و گوش به دلیل تمایل آمینوگلیکوزیدها به تجمع در کلیه‌ها و گوش داخلی باشد(3). مکانیسم سمیت کلیوی ناشی از آمینوگلیکوزید در مطالعات مختلفی مورد بررسی قرار گرفته است. تحقیقات قبلی نشان داد که آمینوگلیکوزیدها می‌توانند به طور ترجیحی در کلیه‌ها تجمع پیدا کنند و با اثر بر روی لوله‌های پروگزیمال کلیه باعث سمیت کلیوی شوند(4). در واقع، آمینوگلیکوزیدها ساختار قطبی دارند و می‌توانند به یک کاتیون یونیزه شوند و به صورت پیونسیتوز با واسطه گیرنده به جایگاه‌های آنیونی سلول‌های اپی تلیال توپول پروگزیمال متصل شوند. به این صورت غلظت آمیکاسین در قشر کلیه 10 برابر غلظت آمیکاسین در پلاسمای می‌شود. سپس به احتمال زیاد با متابولیسم فسفولیپیدها در لیزوژوم‌ها تداخل می‌کند که باعث نشت آنزیم‌های هیدرولاز لیزوژومی به داخل سیتوپلاسم می‌شود. در نهایت، سمیت کلیوی منجر به افزایش کراتینین سرم، نیتروژن اوره خون، گلبول‌های قرمز و گلبول‌های سفید و هم‌چنین آلبومینوری، گلیکوزوری و الیگوری می‌شود(5). از آن‌جا که آمیکاسین در بدن متابولیزه نمی‌شود و به مقدار زیادی از طریق ادرار دفع می‌شود، می‌تواند در لوله‌های پیچیده پروگزیمال تجمع یافته و باعث تولید رادیکال‌های آزاد در بافت کلیه شود(6). مکانیسم‌های متعددی برای بروز سمیت کلیوی ناشی از آمیکاسین پیشنهاد شده است که از جمله آن‌ها می‌توان التهاب، انسداد ترانسپورترها، تولید استرس اکسیداتیو و کاهش جریان خون کلیوی را نام برد(7).

مطالعات مختلفی نشان داده است که آمیکاسین می‌تواند منجر به افزایش تولید رادیکال‌های آزاد اکسیژن و ایجاد استرس اکسیداتیو در بافت‌های مختلف مانند کلیه و گوش شود که در نهایت منجر به آپوپتوز می‌شود که به نوبه خود باعث سمیت شناوری و کلیوی می‌شود(9-12).

24 ساعت بعد از آخرین تزریق، همه حیوانات با تزریق داخل صفاقی کتابین 75 میلی گرم بر کیلو گرم و زایلازین 10 میلی گرم بر کیلو گرم بیهوده شدند. بخشی از بافت کلیه برای بررسی بافت شناسی در محلول فرمالین قرار گرفت. بخشی از بافت جهت ارزیابی بیان ژن در محلول محافظ RNA قرار گرفت و بقیه بافت هموژن شد و در دور $3000 \times g$ برای 10 دقیقه سانتریفیوژ گشته و محلول رویی برای ارزیابی فاکتورهای استرس اکسیداتیو مورد استفاده قرار گرفت.

- بررسی استرس اکسیداتیو تعیین غلظت پروتئین

تعیین غلظت پروتئین با روش برادفورد انجام شد(20) و برای هر کدام از شاخص‌های موردنظر میزان فعالیت بر حسب پروتئین بافتی نرمال‌ایز شد.

اندازه‌گیری میزان ذرات فعال اکسیژن (*ROS*) با فلوریمتری DCFH-DA با استفاده از معروف DA میزان ROS (Dichloro-dihydro-fluorescein diacetate) شد. بعد از تعیین پروتئین بافت، $20 \mu\text{M}$ به $1 \mu\text{M}$ 2000 از نمونه اضافه شده و در 4°C به مدت 15 دقیقه نگهداری شد. سپس جذب در طول موج تحریکی 312 nM و نشری 420 nM اندازه‌گیری شد(21).

تعیین میزان پروتئین کربونیل (*PrC*)

میزان پروتئین کربونیل با استفاده از معروف DNPH (2,4-dinitrophenyl-hydrazine) شد. بعد از تعیین پروتئین بافت، $1 \mu\text{L}$ 500 از تری کلرواستیک اسید (v/w 20 درصد) به $250 \mu\text{g}$ نمونه اضافه کرده و در 4°C به مدت 15 دقیقه نگهداری کردیم. سپس پروتئین‌های رسوب داده شده با دور 5000×g به مدت 10 دقیقه سانتریفیوژ شده و محلول رویی دور ریخته شد. رسوب زیرین کاملاً در 50 میکرولیتر از 0/1 مولار NaOH پراکنده شده و 500

در این مطالعه بررسی اثر محافظتی دوزهای مختلف پنتوکسی فیلین در آسیب کلیوی ناشی از تجویز تحت حد آمیکاسین در موش سوری از طریق ارزیابی فاکتورهای استرس اکسیداتیو، بیان ژن‌های آپوپتوز و همچنین بررسی تغییرات بیوشیمی و بافت‌شناسی می‌باشد.

مواد و روش‌ها

در این مطالعه از 42 سر موش سوری نر نژاد cBalb/c در 7 گروه 6 تایی و محدوده وزنی 30-25 گرم استفاده شد. این موش‌ها از حیوانخانه دانشگاه علوم پزشکی مازندران تهیه شده و در شرایط دمایی 21 درجه سانتی گراد نگهداری و با آب و غذای معمولی تغذیه شدند. داروی آمیکاسین از شرکت داروپیخش و پنتوکسی فیلین (PTX) از شرکت داروسازی حکیم تهیه شد. مداخلات این پژوهش به مدت 15 روز با تیمار آمیکاسین (120 میلی گرم بر کیلو گرم) به منظور القای مدل بیماری در گروه بیمار و تزریق همزمان دوزهای مختلف پنتوکسی فیلین (50، 100، 200 میلی گرم بر کیلو گرم) نیم ساعت قبل آمیکاسین در گروه‌های درمان و ویتامین C (کنترل مثبت) به صورت داخل صفاقی صورت گرفت.

گروه‌های مورد آزمایش

1. گروه کنترل (نرمال سالین)
2. گروه دریافت کننده آمیکاسین 120 میلی گرم بر کیلو گرم (19)
3. گروه دریافت کننده آمیکاسین+PTX (50 میلی گرم بر کیلو گرم) (9)
4. گروه دریافت کننده آمیکاسین+PTX (100 میلی گرم بر کیلو گرم)
5. گروه دریافت کننده آمیکاسین+PTX (200 میلی گرم بر کیلو گرم)
6. گروه دریافت کننده آمیکاسین+ویتامین C (500 میلی گرم بر کیلو گرم)
7. گروه دریافت کننده پنتوکسی فیلین (200 میلی گرم بر کیلو گرم)

0/3 مولار و 0/5 میلی لیتر 0/4 DTNB در صد اضافه کرده و ور تکس می کنیم. 15 دقیقه انکوبه می کنیم تا واکنش کامل شود. سپس میزان جذب را در طول موج 412 نانومتر می خوانیم. غلظت گلو تاتیون را از روی منحنی استاندارد گلو تاتیون بر حسب nmol/ml بدست می آوریم(24).

اندازه گیری بیان فاکتورهای آپوپتوزی *BAX* و *Bcl2* وقوع آپوپتوز در سلول را می توان با استفاده از تغییرات بیان ژن *Bcl2* و *BAX* نشان داد. پس از یهوش کردن حیوانات، بافت کلیه خارج می شوند. نمونه های بافت پس از جداسازی به میکرو تیوب استریل منتقل شده و تا زمان استخراج RNA در نیتروژن مایع (دمای 180- درجه سانتی گراد) نگهداری می شوند. پس از اتمام بخش حیوانی کار و تیمار دارویی، موش های مورد مطالعه به منظور نمونه گیری قربانی شده و بافت در محلول RNA شیلد قرارداده شده و تا مرحله استخراج در فریزر -80 درجه سانتی گراد نگهداری می شود. پرایمر برای ژن های مورد NCBI Blast-Primer در استفاده از برنامه مطالعه، با استفاده از برنامه Blast-Primer طراحی شد و از شرکت پیشگام خریداری گردید. توالی این پرایمرها و برنامه دمایی مورد استفاده در جدول شماره 1 قابل مشاهده است.

جدول شماره 1: توالی پرایمرها و برنامه دمایی مورد استفاده در واکنش qRT-PCR

برنامه دمایی	پرایمر	ژن ها
95 °C, 15 min	F: 5'ACTTCTCTCGTACCGTCGC 3' R: 5'AGAGCGATGTGTCACAGGG 3'	<i>Bcl2</i>
40cycles (95 °C 25s, 58 °C 30s, 72 °C 30s)		
95 °C, 15 min	F: 5'CCAGGACGCATCCACCAAGAAG 3' R: 5'CCCAGITGAAGTTGCCGTCITGC 3'	<i>BAX</i>
40cycles (95 °C 25s, 58 °C 30s, 72 °C 30s)		
	F: 5'CCCCAATGTATCGTTGTG 3' R: 5'TAGCCAGGATGCCCTTAGT 3'	GAPDH

نمونه های در شرایط دمایی یکسانی با تکلیف انکوبه شدند

از ژن GAPDH به عنوان رفرنس استفاده شد. در این مطالعه بعد از دستیابی به دمای اتصال مناسب پرایمرهای مورد نظر، تعیین کمی بیان ژن های هدف با استفاده از Green Mix Master x2 Plus RealQ آپلیکون و دستگاه Rotor Corbett 6000 Gene انجام شد.

2) میکرو لیتر از DNPH (10 مولار) حل شده در HCl (0.1 مولار) به نمونه ها اضافه شد. همچنین یک بلانک با DNPH کردن 50 میکرو لیتر از HCl (0.1 مولار) بدون نمونه پروتئین تهیه شد. نمونه های نیم ساعت در دمای اتاق و به دور از نور انکوبه شده و 1ml 500 از تری کلرواستیک اسید (20w/v) در صد 6500g به مدت 10 دقیقه جمع شده و سانتریفیوژ در 6500g به مدت 10 دقیقه دور ریخته شد. رسوب زیرین با 1 میلی لیتر از مخلوط (v/v) 1:1 اتانول و اتیل استات ترکیب و مجدداً در 6500g به مدت 10 دقیقه سانتریفیوژ شده و محلول رویی برداشته شد. رسوب پروتئین نهایی در 200 ml از محلول گوانین هیدرو کلرايد 6M پراکنده شد. میزان پروتئین کربونیل با خواندن جذب در 365nm با ضریب جذب 22,000 M-1 cm-1 ارزیابی شده که به صورت nmol of DNPH per milligram of protein گشت(22).

اندازه گیری پراکسید اسیون لیپیدی (LPO) براساس روش تیوب اریتورویک اسید (TBA) (اندازه گیری شد. بدین ترتیب که به 0.2ml از سوسپانسیون بافقی، 15 TCA 0.1 ml از معرف TBA شامل 0.5HCl نترمال، در صد و 0/3 TBA و در صد اضافه شده و به خوبی مخلوط و در حمام آب گرم به مدت 30 دقیقه انکوبه گشت. بعد از سرد شدن به آن 20 ml n-بوتائل اضافه کرده و خوب تکان دادیم و سپس در 3500 rpm به مدت 10 دقیقه سانتریفیوژ کردیم، لایه n-بوتائل برای سنجش در طول 532 nm موج جدا شده و مقدار TBARs از روی منحنی استاندارد محاسبه گشت(23).

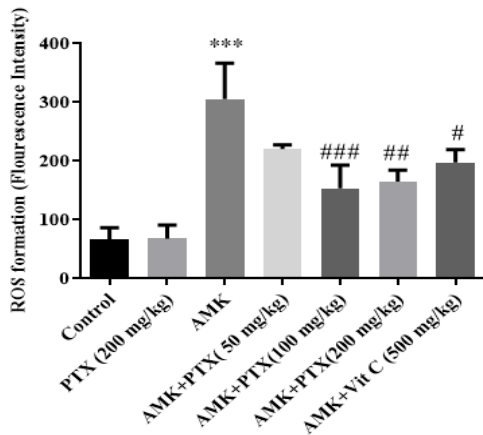
اندازه گیری سطح گلو تاتیون یک میلی لیتر از هموژن بافتی را گرفته و به آن 0/25 میلی لیتر تری کلرو استیک اسید 20 در صد اضافه کردیم و بعد از ور تکس کردن به مدت 20 دقیقه در 1000xg سانتریفیوژ شد. یک میلی لیتر از محلول شفاف رویی را برداشته و به آن 2 میلی لیتر دی سدیم هیدروژن فسفات

(Tukey-Kramer multiple comprehension test) صورت گرفت و نمودارها توسط همین برنامه گرافیگی رسم شدند.

یافته‌ها

اثر محافظتی پنتوکسی فیلین در برابر سمتی آمیکاسین بر میزان ذرات فعال اکسیژن (ROS) در بافت کلیه موش سوری نر

با توجه به نتایج که در نمودار شماره ۱ نشان داده شده است، در آزمایش ROS (ذرات فعال اکسیژن) گروههایی که آمیکاسین را به تنها یابه تنها دریافت کرده بودند نسبت به گروه کنترل، افزایش چشمگیری داشتند و از طرف دیگر گروههای دریافت کننده دوزهای متوسط و بالای پنتوکسی فیلین به عنوان عامل محافظت کننده (دوزهای ۱۰۰ و ۲۰۰ میلی گرم بر کیلو گرم)، کاهش قابل ملاحظه‌ای در میزان ذرات فعال اکسیژن داشتند.



نمودار شماره ۱: اثر محافظتی پنتوکسی فیلین در برابر آمیکاسین بر میزان ذرات فعال اکسیژن

نتایج به صورت $\text{mean} \pm \text{SD}$ حاصل از سه بار تکرار آزمایش گزارش شده است.

.**: نشان دهنده اختلاف معنی دار با گروه کنترل است ($P < 0.001$).

.#: نشان دهنده اختلاف معنی دار با گروه آمیکاسین است ($P < 0.05$).

.##: نشان دهنده اختلاف معنی دار با گروه آمیکاسین است ($P < 0.01$).

.###: نشان دهنده اختلاف معنی دار با گروه آمیکاسین است ($P < 0.001$).

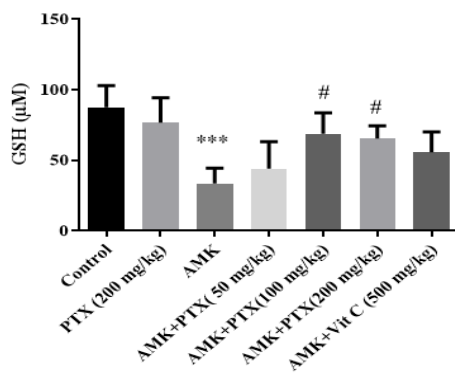
.Vit C: آمیکاسین، PTX: ویتامین سی، P: پنتوکسی فیلین

استخراج RNA: در ابتدا بافت‌ها هموژن شده و سپس توسط بافر لیزر کننده حاوی مهارکننده RNAase تیمار می‌شود. در ادامه با استفاده از کلروفرم، آلدگی‌های آلی RNA حذف شده و محصول حاصله سوارستون‌های استخراج می‌شود. بعد از شستشوی ستون با بافرهای اتصال و شستشو، اسید نوکلئیک نهایی از ستون جدا شده و در فریزر ۸۰- درجه سانتی گراد نگهداری می‌شود. کیفیت RNA بر روی ژل آگارز بررسی می‌گردد و کمیت آن توسط دستگاه اسپکتروفوتومتر اندازه‌گیری می‌شود. مولکول ریبونوکلئیک اسید به دلیل داشتن اکسیژن در کربن شماره ۲ و همچنین تک رشته و کوتاه بودن آن، نسبت به مولکول‌های نوکلئیک اسید واکنش‌پذیرتر بوده و تخریب‌پذیری بالایی دارد.

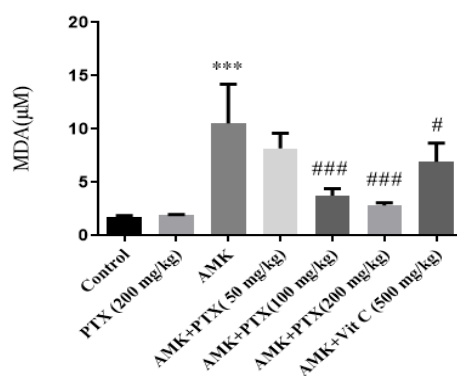
سنتز cDNA: ۵۰ تا ۵۰۰ نانوگرم از RNA استخراج شده، به کمک آنزیم رونوشت بردار معکوس و پرایمرهای رندم هگرامر یا اولیگو دی‌تی و مخلوط نوکلئوتیدها در دستگاه ترموسیکلر به cDNA تبدیل می‌شود. بررسی بیان ژن cDNA: bax Bcl2 استنتر شده در مرحله قبل برای بررسی بیان اختصاصی ژن bax، Bcl2 استفاده می‌شود. در این مرحله با استفاده از پرایمرهای انتخابی این ژن، مخلوط نوکلئوتیدها و آنزیم پلیمراز و سایر گرین در دستگاه روتور ژن واکنش Realtime PCR انجام می‌شود. بعد از بررسی نمودارهای امپلیفیکاسیون و ذوب و اصلاح کردن شدت فلورسانس بر کارایی واکنش، مقدار بیان این ژن نسبت بر بیان ژن خانه‌دار Gapdh نرمالایز شده و در بین نمونه‌های تیمارشده با داروهای مختلف مقایسه می‌شود. داده‌های خام به دست آمده از روش Realtime PCR با استفاده از نرم افزار LinReg بررسی شده و بیان نسبی ژن‌ها نسبت به گروه کنترل محاسبه خواهد شد(25).

روش آماری مورد استفاده تمامی محاسبات آماری با استفاده از نرم افزار آماری Prism Ver.8 انجام شد و مقایسه داده‌ها با روش آنالیز واریانس یک طرفه (ANOVA) و Post test مربوطه

500 میلی گرم بر کیلو گرم ویتامین C دریافت کرده است که اثر محافظتی قابل توجهی نداشته است. کلیه تزریقات روزی یک بار و به صورت داخل صفاتی صورت گرفت.



نمودار شماره 2: اثر محافظتی پنتوکسی فیلین در برابر آمیکاسین بر غلظت گلوتاتیون در بافت کلیه نتایج به صورت mean \pm SD حاصل از سه بار تکرار آزمایش گزارش شده است.
 ***: نشان دهنده اختلاف معنی دار با گروه آمیکاسین است ($P<0.001$).
 #: نشان دهنده اختلاف معنی دار با گروه آمیکاسین است ($P<0.05$).
 #: نشان دهنده اختلاف معنی دار با گروه آمیکاسین است ($P<0.001$).
 AMK: آمیکاسین، Vit C: ویتامین سی، PTX: پنتوکسی فیلین



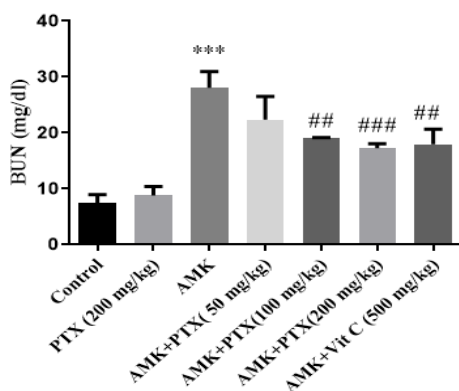
نمودار شماره 3: اثر محافظتی پنتوکسی فیلین در برابر آمیکاسین بر پراکسیداسیون لیپیدی در بافت کلیه نتایج به صورت mean \pm SD حاصل از سه بار تکرار آزمایش گزارش شده است.
 ***: نشان دهنده اختلاف معنی دار با گروه کنترل است ($P<0.001$).
 #: نشان دهنده اختلاف معنی دار با گروه آمیکاسین است ($P<0.05$).
 #: نشان دهنده اختلاف معنی دار با گروه آمیکاسین است ($P<0.001$).
 AMK: آمیکاسین، Vit C: ویتامین سی، PTX: پنتوکسی فیلین

در گروه ویتامین C نیز به عنوان کنترل مثبت، نیم ساعت قبل از دریافت آمیکاسین، ویتامین C تزریق شده است. و گروه دریافت کننده ویتامین C نسبت به گروه های دریافت کننده آمیکاسین به تنها یابی ذرات فعال اکسیژن کمتری داشتند، در حالی که نسبت گروه های دریافت کننده پنتوکسی فیلین در دوز متوسط و بالا اثر گذاری کمتری داشت.

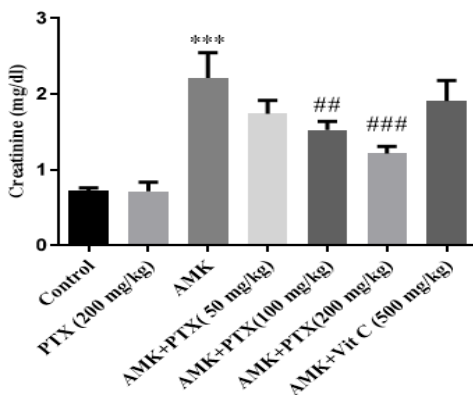
اثر محافظتی پنتوکسی فیلین در برابر سمیت آمیکاسین بر غلظت گلوتاتیون (GSH) در بافت کلیه موش سوری نر با توجه به نتایج همان طور که در نمودار شماره 2 نشان داده شده است، سطح گلوتاتیون احیا در گروهی که تنها آمیکاسین دریافت کرده بودند به صورت قبل ملاحظه ای نسبت به گروه کنترل کاهش یافت ($P<0.001$). از طرف دیگر، تجویز دوز پایین پنتوکسی فیلین به عنوان یک عامل محافظتی، از نظر آماری معنی دار نبود (نسبت به گروهی که تنها آمیکاسین دریافت کرده بودند)، اما سطح گلوتاتیون احیا در گروه دریافت کننده دوز متوسط و بالای پنتوکسی فیلین (100 و 200 میلی گرم بر کیلو گرم) به صورت معنی داری افزایش داشت ($P<0.01$).

اثر محافظتی پنتوکسی فیلین بر سمیت آمیکاسین بر پراکسیداسیون لیپیدی (MDA) در بافت کلیه موش سوری نر افزایش مالون دی آلدئید (MDA) به عنوان یک نشانگر مهم برای آسیب اکسیداتیو غشاء سلول شناخته می شود. همان طور که در نمودار شماره 3 نشان داده شده است، سطح مالون دی آلدئید در کلیه موش هایی که آمیکاسین دریافت کردند در مقایسه با گروه کنترل افزایش چشمگیری داشت ($P<0.01$). علاوه بر این، میزان مالون دی آلدئید در گروهی که پنتوکسی فیلین (100 و 200 میلی گرم بر کیلو گرم) دریافت کرد، در مقایسه با موش هایی که آمیکاسین دریافت کردند به طور قابل توجهی کاهش یافت ($P<0.05$). گروه ویتامین C نیز به عنوان کنترل مثبت، نیم ساعت قبل از دریافت آمیکاسین میزان

تیمار شده به وسیله آمیکاسین شده است و به صورت کلی پنتوکسی فیلین تأثیر بهتری در بهبود این پارامترهای کلیوی نشان نداده است. گروه ویتامین C نیز به عنوان کنترل مثبت، نیم ساعت قبل از دریافت آمیکاسین میزان 500 میلی گرم بر کیلو گرم ویتامین C دریافت کرده است.

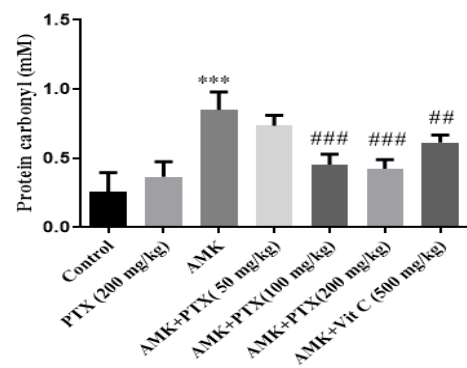


نمودار شماره 5: اثر محافظتی پنتوکسی فیلین در برابر آمیکاسین بر میزان اوره در بافت کلیه موش سوری
میزان اوره در بافت کلیه موش سوری mean \pm SD حاصل از سه بار تکرار آزمایش گزارش شده است.
نتایج به صورت mean \pm SD حاصل از سه بار تکرار آزمایش گزارش شده است.
***: نشان دهنده اختلاف معنی دار با گروه کنترل است ($P<0.001$).
#: نشان دهنده اختلاف معنی دار با گروه آمیکاسین است ($P<0.01$).
##: نشان دهنده اختلاف معنی دار با گروه آمیکاسین است ($P<0.001$).
###: نشان دهنده اختلاف معنی دار با گروه آمیکاسین است ($P<0.001$).
PTX: آمیکاسین، Vit C: ویتامین سی، AMK: پنتوکسی فیلین



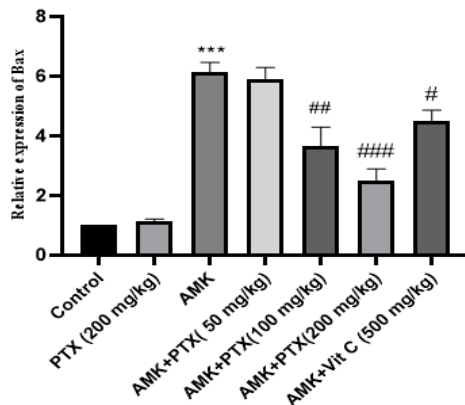
نمودار شماره 6: اثر محافظتی پنتوکسی فیلین در برابر آمیکاسین بر میزان کراتینین در بافت کلیه موش سوری
میزان کراتینین در بافت کلیه موش سوری mean \pm SD حاصل از سه بار تکرار آزمایش گزارش شده است.
نتایج به صورت mean \pm SD حاصل از سه بار تکرار آزمایش گزارش شده است.
***: نشان دهنده اختلاف معنی دار با گروه کنترل است ($P<0.001$).
#: نشان دهنده اختلاف معنی دار با گروه آمیکاسین است ($P<0.01$).
##: نشان دهنده اختلاف معنی دار با گروه آمیکاسین است ($P<0.001$).
###: نشان دهنده اختلاف معنی دار با گروه آمیکاسین است ($P<0.001$).
PTX: آمیکاسین، Vit C: ویتامین سی، AMK: پنتوکسی فیلین

اثر محافظتی پنتوکسی فیلین در برابر سمیت آمیکاسین بر میزان پروتئین کربونیل در بافت کلیه موش سوری نر
با توجه به نمودار شماره 4 سطح پروتئین کربونیل
در گروههای دریافت کننده پنتوکسی فیلین نسبت به
گروهی که تنها آمیکاسین دریافت کرده بود در دوزهای
متوسط و بالای آن کاهش چشم گیری داشت ($P<0.001$)
هر دو). این در حالی بود که دوز پائین پنتوکسی فیلین
در کاهش پروتئین کربونیل ناشی از آمیکاسین خیلی
موثر نبود ($P>0.05$).

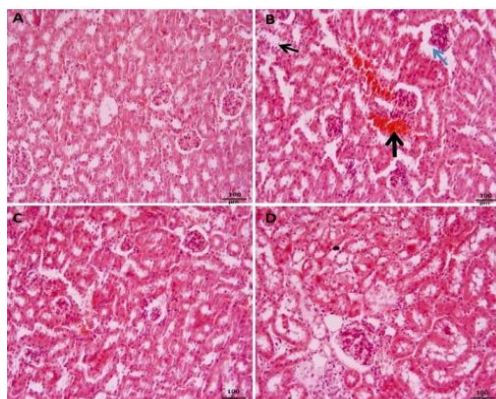


نمودار شماره 4: اثر محافظتی پنتوکسی فیلین در برابر آمیکاسین بر میزان پروتئین کربونیل در بافت کلیه موش سوری
نتایج به صورت mean \pm SD حاصل از سه بار تکرار آزمایش گزارش شده است.
***: نشان دهنده اختلاف معنی دار با گروه کنترل است ($P<0.001$).
#: نشان دهنده اختلاف معنی دار با گروه آمیکاسین است ($P<0.01$).
##: نشان دهنده اختلاف معنی دار با گروه آمیکاسین است ($P<0.001$).
###: نشان دهنده اختلاف معنی دار با گروه آمیکاسین است ($P<0.001$).
PTX: آمیکاسین، Vit C: ویتامین سی، AMK: پنتوکسی فیلین

اثرات محافظتی پنتوکسی فیلین بر آسیب بیوشیمیابی ناشی از آمیکاسین در بافت کلیه موش سوری نر
اثر محافظتی پنتوکسی فیلین در برابر سمیت ناشی از آمیکاسین در بافت کلیه موش نر در نمودارهای شماره 5 و 6 نشان داده شده است. در این مطالعه میزان اوره (نمودار شماره 5) و کراتینین سرمی (نمودار شماره 6) در گروه آمیکاسین در مقایسه با گروه کنترل افزایش معنی داری داشته است ($P<0.001$). این در حالی است که درمان با پنتوکسی فیلین در دو دوز 100 و 200 میلی گرم بر کیلو گرم باعث کاهش میزان اوره و کراتینین سرمی در موش های



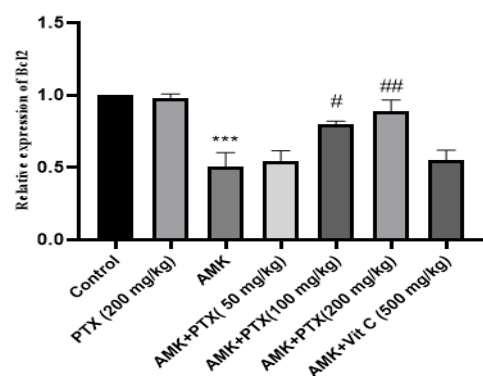
نمودار شماره 8: اثر حفاظتی پنتوکسی فیلین در برابر آمیکاسین بر میزان بیان Bax در بافت کلیه موش سوری تابع به صورت mean \pm SD حاصل از سه بار تکرار آزمایش گزارش شده است.
***: نشان دهنده اختلاف معنی دار با گروه کنترل است ($P < 0.001$).
#: نشان دهنده اختلاف معنی دار با گروه آمیکاسین است ($P < 0.05$).
##: نشان دهنده اختلاف معنی دار با گروه آمیکاسین است ($P < 0.01$).
###: نشان دهنده اختلاف معنی دار با گروه آمیکاسین است ($P < 0.001$).
.AMK: آمیکاسین، Vit C: ویتامین سی، PTX: پنتوکسی فیلین



تصویر شماره 1: اثر پنتوکسی فیلین بر تغییر شاخص‌های هیستوپاتولوژیک بافت کلیه ناشی از مواجهه با آمیکاسین در موش سوری نر ارزیابی هیستوپاتولوژیک اثر پنتوکسی فیلین بر تغییر شاخص‌های هیستوپاتولوژیک اثر پنتوکسی فیلین بر روی آسیب بافت کلیه القا شده توسط آمیکاسین، A: کنترل، B: آمیکاسین (500kg/mg)، C: آمیکاسین (500kg/mg)+پنتوکسی فیلین (100kg/mg)، D: آمیکاسین (500kg/mg)+پنتوکسی فیلین (200kg/mg). فلش مشکی ضخیم نشان دهنده هموراژی و فلش مشکی نازک ییانگر جدا شدن یا کنده شدن سلول‌های اپی‌تیلیال و فلش آبی وسیع شدن فضای کپسول بومن را نشان می‌دهد. رنگ آمیزی بارنگ هماتوکسیلین - اوزین صورت گرفته است (بزرگنمایی $\times 40$).

اثر پنتوکسی فیلین بر تغییر بیان ژن‌های آپوپتوزی در بافت کلیه ناشی از مواجهه با آمیکاسین در موش سوری نر همان طور که در نمودار شماره 7 مشخص است میزان بیان ژن آنتی آپوپوتیک Bcl2 در بافت کلیه بعد از دریافت آمیکاسین به صورت معنی‌داری نسبت به گروه کنترل کاهش ($P < 0.001$) پیدا کرد. هم‌چنین تجویز پنتوکسی فیلین در دو دوز 100 و 200 میلی گرم بر کیلو گرم باعث کاهش میزان بیان ژن Bcl2 در موش‌های تیمار شده به وسیله آمیکاسین شده است. هم‌چنین همان‌طور که در نمودار شماره 8 بیان شده است بیان ژن پروآپوپوتیک Bax بعد از تزریق آمیکاسین و دوزهای مختلف پنتوکسی فیلین در بافت کلیه موش سوری نشان داده شده است. آمیکاسین باعث افزایش بیان ژن Bax شد که پنتوکسی فیلین توانست در دوزهای 100 و 200 میلی گرم بر کیلو گرم افزایش میزان بیان ژن Bax ناشی از آمیکاسین را در بافت کلیه موش‌ها مهار کند.

اثر پنتوکسی فیلین بر تغییر شاخص‌های هیستوپاتولوژیک بافت کلیه ناشی از مواجهه با آمیکاسین در موش سوری نر ارزیابی بافت شناسی اثر پنتوکسی فیلین بر تغییر شاخص‌های هیستوپاتولوژیک ناشی از مواجهه آمیکاسین در بافت کلیه در تصویر شماره 1 نشان داده است.



نمودار شماره 7: اثر حفاظتی پنتوکسی فیلین در برابر آمیکاسین بر میزان بیان Bcl2 در بافت کلیه موش سوری تابع به صورت mean \pm SD حاصل از سه بار تکرار آزمایش گزارش شده است.
***: نشان دهنده اختلاف معنی دار با گروه کنترل است ($P < 0.001$).
#: نشان دهنده اختلاف معنی دار با گروه آمیکاسین است ($P < 0.05$).
##: نشان دهنده اختلاف معنی دار با گروه آمیکاسین است ($P < 0.01$).
.AMK: آمیکاسین، Vit C: ویتامین سی، PTX: پنتوکسی فیلین

در 7 روز به طور معنی داری سطح BUN و کراتینین سرم را افزایش داد(27).

مکانیسم های مختلف برای پاتوژنر سمیت کلیوی ناشی از آمیکاسین مطرح شده است که از آن جمله تولید ذرات فعال نیتروژن و اکسیژن که می تواند منجر به شروع سیگنان آپوپتوز و القای فرآیند مرگ سلولی شود، می باشد. از طرف دیگر گفته می شود که آمینو گلیکوزیدها می توانند با آهن موجود در میتوکندری تشکیل کمپلکس دهد که باعث اختلال در تنفس میتوکنیدیابی و افزایش تولید رادیکال های آزاد شوند(1). تعادل بین تولید رادیکال های آزاد و آنتی اکسیدان ها برای عملکرد نرمال سلول و بافت ضروری است. تولید ذرات فعال اکسیژن در نتیجه ترکیبات سمی منجر به حمله این رادیکال های فعال به مولکول های داخل سلولی مانند اسیدهای چرب غیر اشاع و پروتئین ها می شود. حمله ذرات فعال اکسیژن به اسیدهای چرب غیر اشاع به خصوص در فسفولیپیدهای غشایی منجر به افزایش لیپید پراکسیداسیون و آسیب به محصولات نهایی لیپید پراکسیداسیون یکی از مهم ترین مارکرهای سطح استرس اکسیداتیو است. هم چنین اندازه گیری سطح پروتئین کربونیل به عنوان یکی از مهم ترین مارکرهای آسیب اکسیداتیو به پروتئین ها دارای ارزش است(28). از طرفی، گلوتاپیون یکی از مهم ترین دفاع های آنتی اکسیدانی غیر آنزیمی در بدن است که نقش مهمی را در پاتوژنر بیماری ها به خصوص نفروپاتی ها دارد(29). همان طور که در بخش یافته ها نشان داده شد، پنتوکسی فیلین باعث افزایش سطح لیپید پراکسیداسیون و پروتئین کربونیل و هم چنین کاهش سطح گلوتاپیون در بافت کلیه موش های سوری شد که نشان دهنده افزایش سطح استرس اکسیداتیو است. این نتایج در توافق با مطالعات قبلی است که افزایش سطح لیپید پراکسیداسیون و کاهش سطح آنتی اکسیدان ها به خصوص گلوتاپیون را بعد از تجویز آمیکاسین مشاهده کردند که تایید کننده ارتباط بین سمیت کلیوی آمیکاسین

نشان دهنده کلیه گروه کنترل است که آسیب بافتی خاصی را نشان نمی دهد. در قسمت B، گروه دریافت کننده آمیکاسین است که هموراژی، کنده شدن سلول های اپی تلیال و وسیع شدن فضای کپسول بومن در عکس های میکرو سکوپی تهیه شده مشاهده شد. هم چنین قسمت D و C، به ترتیب گروه های دریافت کننده پنتوکسی فیلین 100 و 500 میلی گرم بر کیلو گرم را نشان می دهد که کاهش آسیب بافتی گزارش شد.

بحث

نارسایی مزمن کلیه، تحت عنوان کاهش پیشرونده عملکرد کلیه که در نهایت منجر به آسیب ساختاری برگشت ناپذیر در نفرون ها می شود، تعریف می گردد. علایم بالینی نارسایی مزمن کلیوی و مشکلات ناشی از آن شامل افزایش فشارخون و آنمی، با پیشرفت بیماری مشاهده می شود. آمیکاسین وسیع ترین طیف اثر و کم ترین ایجاد مقاومت را نسبت به سایر آمینو گلیکوزیدها دارد، ولی سمیت کلیوی منجر به محدودیت مصرف این آنتی بیوتیک می شود. لذا پیدا کردن یک راه درمانی برای کاهش عوارض کلیوی آن یک ضرورت محسوب می شود. بنابراین ما در این مطالعه به بررسی اثر محافظتی پنتوکسی فیلین در برابر سمیت کلیوی آمیکاسین از طریق ارزیابی پارامترهای استرس اکسیداتیو و فاکتورهای آپوپتوتیک و آنتی آپوپتوتیک می پردازیم.

نتایج حاصل از کار حاضر نشان داد که تجویز داخل صفاقی آمیکاسین با دوز 120 میلی گرم بر کیلو گرم در 15 روز به طور معنی داری سطح BUN و کراتینین سرم را افزایش داد و هم چنین سبب آسیب به بافت کلیه شد. این نتایج با مطالعه Hlail و همکارانش هم خوانی دارد که نشان داد تزریق داخل صفاقی آمیکاسین با دور 120 میلی گرم بر کیلو گرم برای 14 روز افزایش قبلی توجیه در سطح کراتینین سرم و او ره داشته است(26). هم چنین، مطالعات قبلی دیگری نشان داد که تزریق آمیکاسین در دوزهای 100 و 400 میلی گرم بر کیلو گرم

که موجب شد تا پنتوکسیفلین به عنوان یک عامل درمانی در بیماری‌های کلیوی مورد توجه قرار گیرد. در این مطالعه، تجویز پنتوکسیفلین سبب کاهش اوره و کراتینین در سرم و همچنین تغییرات پاتولوژیک در بافت کلیه موش‌های دریافت کننده آمیکاسین شد. در مطالعه‌ای که توسط Ozer و همکاران در سال 2009 انجام شد استفاده از تک دوز بالای آمیکاسین (1/2 گرم بر کیلوگرم وزن بدن) در موش صحرایی سبب افزایش اوره و کراتینین و همچنین تغییرات مورفولوژیک در بافت کلیه موش‌های صحرایی شده بود(10).

در مطالعه حاضر از دوزهای کم‌تر آمیکاسین (120 میلی‌گرم بر کیلوگرم) و به صورت تحت حاد (15 روزه) استفاده شد، که علاوه بر تغییرات بیوشیمیابی و مورفولوژیک، مکانیسم اثربخشی آمیکاسین از طریق ارزیابی کامل تر فاکتورهای استرس اکسیداتیو و همچنین بیان ژن‌های آپوپتوز انجام شد.

در این مطالعه، پنتوکسیفلین سطح لیپید پراکسیداسیون و پروتئین کربونیل که در بافت کلیه موش‌های سوری در تماس با آمیکاسین افزایش پیدا کرده بود را به صورت معنی‌داری کاهش داد. همچنین سطح دفاع آنتی‌اکسیدان این نتایج در راستای مطالعات قبلی می‌باشد که پنتوکسیفلین سبب کاهش فاکتورهای استرس اکسیداتیو در مدل‌های مختلف شده بود.

در مطالعات مختلفی که بر روی اثرات آنتی‌اکسیدان پنتوکسیفلین در رت‌های دیابتی شده با استرپتوزوسین انجام شد، پنتوکسیفلین سبب کاهش سطح لیپید پراکسیداسیون و همچنین افزایش فعالیت آنزیم‌های آنتی‌اکسیدان در سرم رت‌های دیابتی شده بود که منجر به بهبود علایم نفروپاتی دیابتی شده بود(17,16). همچنین در یک مدل آسیب سلول‌های کلیوی ناشی از سنگ کلیه القا شده با اتیلن گلایکول در رت، پنتوکسیفلین از طریق افزایش فعالیت آنزیم‌های آنتی‌اکسیدان مانند کاتالاز، سوپراکسید دسموتاز و گلوتاتیون پراکسیداز و کاهش میزان لیپیدپراکسیداسیون باعث کاهش دژنراسیون

و بروز استرس اکسیداتیو است(30,27,12,6). از طرفی افزایش بیش از اندازه ذرات فعل اکسیژن باعث آسیب DNA و همچنین اکسیداسیون غشای لیپیدی سلول‌ها و ارگان‌های داخل سلولی مثل میتوکندری می‌شود که در نهایت منجر به آزاد شدن سیتوکروم C به فضای داخل سلولی و شروع آپوپتوز می‌شود. بروز آپوپتوز ناشی از آمیکاسین در مطالعات قبلی در مدل‌های مختلف حیوانی نشان داده شده بود(8). همچنین نتایج مطالعه حاضر افزایش بیان ژن Bax به عنوان یک فاکتور پروآپوپتوزیک و کاهش میزان Bcl2 به عنوان یک فاکتور آنتی‌آپوپتوزیک بعد از تجویز آمیکاسین مشاهده شد که تایید کننده بروز آپوپتوز در سمیت کلیوی ناشی از آمیکاسین است. بنابراین با توجه به نقش آسیب اکسیداتیو در بروز آسیب کلیوی ناشی از آمیکاسین، استفاده از آنتی‌اکسیدان‌ها می‌تواند در کاهش نفروپاتی ناشی از آمیکاسین موثر باشد(31). پنتوکسیفلین یک مهارکننده فسفودی استراز با اثرات آنتی‌اکسیدانی، ضدالتهاب و ضدفیروزی است که می‌تواند موجب افزایش میزان فعالیت سوپراکسیدسموتاز، گلوتاتیون پراکسیداز و کاتالاز شود(32-34). از طرفی با غیرفعال کردن عواملی مانند سایتوکین‌ها که نقش مهمی در التهاب دارند، موجب تقویت سیستم ایمنی و افزایش مقاومت بدن در مقابل سیاری از بیماری‌ها گردد(35). مطالعات قبلی نشان داد که پنتوکسیفلین می‌تواند منجر به بهبود تغییرات ناشی از دگرگامتازون در بافت کبد موش‌های سوری شود و قادر به افزایش سطح cAMP و cGMP می‌باشد که این نوکلئوتیدها با کاهش لیپید پراکسیداسیون از استرس اکسیداتیو جلوگیری می‌کنند و بنابراین با کاهش رادیکال‌های آزاد باعث کاهش آسیب سلول‌های کبدی می‌شود(36). علاوه بر این نشان داده شده است که پنتوکسیفلین می‌تواند فعالیت و تکثیر لنفوцит‌ها و فیبروبلاست‌های کلیوی که نقش مهمی در فیروز کلیه ایفا می‌کنند را مهار کند. همچنین توانست التهاب کلیه را از طریق اثر بر روی ستر سایتوکین‌های التهابی تخفیف بخشد(37,38).

آمیکاسین شود و بررسی بقیه اثرات می‌تواند در مطالعات بعدی انجام شود.

نتایج نشان داد که آمیکاسین با تولید رادیکال های آزاد، افزایش لیپیدپراسیداسیون و پروتئین کربونیل و همچنین کاهش گلوتاتیون در بافت کلیه، باعث القاء استرس اکسیداتیو و آسیب به بافت کلیوی و در نهایت تخریب سلول های کلیوی و افزایش سطح اوره و کراتینین سرم می شود. پنتوکسی فیلین به عنوان یک آنتی اکسیدان از طریق کاهش رادیکال های آزاد و مهار اکسیداسیون پروتئین، لیپید های سلولی و همچنین افزایش قدرت آنتی اکسیدانی سلول باعث کاهش آسیب اکسیداتیو کلیوی ناشی از آمیکاسین و بهبود عملکرد کلیه می شود. بنابراین علاوه بر این، یافته های مطالعه نشان می دهد که استفاده از ترکیبات با خواص آنتی اکسیدان می توانند نتایج امیدبخشی در کاهش سمیت کلیوی ناشی از آمینو گلیکوزیدها به خصوص آمیکاسین در افراد تحت درمان داشته باشد.

سپاسگزاری

این مقاله حاصل پایان نامه دکترای عمومی داروسازی خانم زهراء رمضان پور با کد اخلاقی (IR.MAZUMS.REC.1400.522) و کد طرح 522 بوده و منابع مالی آن توسط دانشگاه علوم پزشکی مازندران تأمین شده است که بدین وسیله تقدیر و تشکر می شود.

و نکروز سلول های اپی تلیال کلیه شده بود (18). در مطالعه Alorabi و همکاران در سال 2020، اثرات محافظت کلیوی پنتوکسی فیلین و بربرین به تنها بی و در ترکیب با هم در سمیت کلیوی حاد ناشی از دیکلوفناک بررسی شد، که پنتوکسی فیلین به تنها بی اثر محافظتی کمی نشان داد ولی در ترکیب با بربرین اثرات مهاری معنی داری بر سمیت کلیوی دیکلوفناک در موش صحرایی داشت که احتمالاً به واسطه اثرات آنتی اکسیدانی و ضد التهابی این ترکیب است (15). مکانیسم مطرح شده برای اثرات محافظت کلیوی پنتوکسی فیلین مرتبط با اثرات متنوع فارماکولوژیک این ترکیب است که شامل فعال سازی پروستاگلاندین های با خاصیت گشاد کتندگی عروق، افزایش ظرفیت انتقال اکسیژن به بافت کلیوی ایسکمیک و آسیب دیده و مهار NADPH اکسیداز نوتروفیل ها است که نقش مهمی را در تولید رادیکال های آزاد دارند (39).

علاوه براین، در این مطالعه از ویتامین C در دوز 500 میلی گرم بر کیلو گرم به عنوان کنترل مثبت استفاده شد که پنتوکسی فیلین اثرات بهتری را در کاهش سمیت کلیوی ناشی از آمیکاسین در موش صحرایی نشان داد. این اثر احتمالاً به خاطر تنوع اثرات پنتوکسی فیلین است که می تواند از طریق افزایش خونرسانی و اثرات ضد التهابی و آنتی اکسیدانتی منجر به مهار سمیت بافتی

References

- Wargo KA, Edwards JD. Aminoglycoside-induced nephrotoxicity. *J Pharm Pract* 2014; 27(6): 573-577.
- Endo A, Hanawa K, Nemoto A, Ishikawa T, Kazama S, Kagami Y, et al. Evaluation of nephrotoxicity and ototoxicity following amikacin administration once daily or every 48 hours in neonates. *Medicine (Baltimore)* 2022; 101(43): e31425.
- Jelliffe RW, Neely M. Individualized drug therapy for patients: basic foundations, relevant software and clinical applications. Cambridge: Academic Press; 2016.
- Oliveira JF, Silva CA, Barbieri CD, Oliveira GM, Zanetta DM, Burdmann EA. Prevalence and risk factors for aminoglycoside nephrotoxicity in intensive care units. *Antimicrob Agents Chemother* 2009; 53(7): 2887-2891.

5. Chan K, Ledesma KR, Wang W, Tam VH. Characterization of Amikacin Drug Exposure and Nephrotoxicity in an Animal Model. *Antimicrob Agents Chemother* 2020; 64(9): e00859-20.
6. Ozer MK, Bilgic S, Armagan I, Savran M. Thymoquinone protection from amikacin induced renal injury in rats. *Biotech Histochem* 2020; 95(2): 129-136.
7. Prajapati B, Singha M. Comparative evaluation of the toxicity of amikacin and cefepime on rat's kidney and liver. *Int J Pharmtech Res* 2010; 3(4): 2149-2154.
8. Saeed ZM, Khattab MI, Khorshid NE, Salem AE. Ellagic acid and cilostazol ameliorate amikacin-induced nephrotoxicity in rats by downregulating oxidative stress, inflammation, and apoptosis. *PLoS One* 2022; 17(7): e0271591.
9. El-Anwar MW, Abdelmonem S, Nada E, Galhoom D, Abdelsameea AA. Protective effect of pentoxifylline on amikacin-induced ototoxicity. *Ear Nose Throat J* 2018; 97(8): e8-e12.
10. Ozer MK, Asci H, Oncu M, Yesilot S, Savran M, Bayram D, et al. Effects of pentoxifylline on amikacin-induced nephrotoxicity in rats. *Ren Fail* 2009; 31(2): 134-139.
11. Parlakpinar H, Koc M, Polat A, Vardi N, Ozer MK, Turkoz Y, et al. Protective effect of aminoguanidine against nephrotoxicity induced by amikacin in rats. *Urol Res* 2004; 32(4): 278-282.
12. Parlakpinar H, Ozer MK, Sahna E, Vardi N, Cigremis Y, Acet A. Amikacin-induced acute renal injury in rats: protective role of melatonin. *J Pineal Res* 2003; 35(2): 85-90.
13. Bilgiç S, Özgöçmen M, Ozer MK. Thymoquinone ameliorates amikacin induced oxidative damage in rat brain tissue. *Biotech Histochem* 2023; 98(1): 38-45.
14. Speer EM, Diago-Navarro E, Ozog LS, Raheel M, Levy O, Fries BC. A Neonatal Murine Escherichia coli Sepsis Model Demonstrates That Adjunctive Pentoxifylline Enhances the Ratio of Anti- vs. Pro-inflammatory Cytokines in Blood and Organ Tissues. *Front Immunol* 2020; 11: 577878.
15. Alorabi M, Cavalu S, Al-Kuraishy HM, Al-Gareeb AI, Mostafa-Hedeab G, Negm WA, et al. Pentoxifylline and berberine mitigate diclofenac-induced acute nephrotoxicity in male rats via modulation of inflammation and oxidative stress. *Biomed Pharmacother* 2022; 152: 113225.
16. An ZM, Dong XG, Guo Y, Zhou JL, Qin T. Effects and clinical significance of pentoxifylline on the oxidative stress of rats with diabetic nephropathy. *J Huazhong Univ Sci Technolog Med Sci* 2015; 35(3): 356-361.
17. Dávila-Esqueda ME, Martínez-Morales F. Pentoxifylline diminishes the oxidative damage to renal tissue induced by streptozotocin in the rat. *Exp Diabetes Res* 2004; 5(4): 245-251.
18. Ozturk H, Cetinkaya A, Firat TS, Tekce BK, Duzcu SE, Ozturk H. Protective effect of pentoxifylline on oxidative renal cell injury associated with renal crystal formation in a hyperoxaluric rat model. *Urolithiasis* 2019; 47(5): 415-424.
19. Hlail AT, Faraj HR, Abdulredha WS. The Protective Effect of Omega3 Against Amikacin-Induced Nephrotoxicity in Rats. *Sys Rev Pharm* 2020; 11(9): 110-117.
20. Marques LJ, Zheng L, Poulakis N, Guzman J, Costabel U. Pentoxifylline inhibits TNF- α production from human alveolar macrophages.

- Am J Respir Crit Care Med 1999; 159(2): 508-511.
21. Lund B-O, Miller DM, Woods JS. Studies on Hg (II)-induced H₂O₂ formation and oxidative stress in vivo and in vitro in rat kidney mitochondria. Biochem Pharmacol 1993; 45(10): 2017-2024.
22. Shaki F, Hosseini M-J, Ghazi-Khansari M, Pourahmad J. Toxicity of depleted uranium on isolated rat kidney mitochondria. Biochim Biophys Acta 2012; 1820(12): 1940-1950.
23. Zhang F, Xu Z, Gao J, Xu B, Deng Y. In vitro effect of manganese chloride exposure on energy metabolism and oxidative damage of mitochondria isolated from rat brain. Environ Toxicol Pharmacol 2008; 26(2): 232-236.
24. Sadegh C, Schreck RP. The spectroscopic determination of aqueous sulfite using Ellman's reagent. MURJ 2003; 8: 39-43.
25. Aposhian HV, Aposhian MM. Newer developments in arsenic toxicity. Journal of the American College of Toxicology 1989; 8(7): 1297-1305.
26. Hlail AT, Faraj HR, Abdulredha WS. The protective effect of Omega3 against amikacin-induced nephrotoxicity in rats. Sys Rev Pharm 2020; 11(9): 110-117.
27. Abdel-Daim MM, Ahmed A, Ijaz H, Abushouk AI, Ahmed H, Negida A, et al. Influence of Spirulina platensis and ascorbic acid on amikacin-induced nephrotoxicity in rabbits. Environ Sci Pollut Res Int 2019; 26(8): 8080-8086.
28. Colombo G, Reggiani F, Angelini C, Finazzi S, Astori E, Garavaglia ML, et al. Plasma Protein Carbonyls as Biomarkers of Oxidative Stress in Chronic Kidney Disease, Dialysis, and Transplantation. Oxid Med Cell Longev 2020; 2020: 2975256.
29. Vodošek Hojs N, Bevc S, Ekart R, Hojs R. Oxidative Stress Markers in Chronic Kidney Disease with Emphasis on Diabetic Nephropathy. Antioxidants (Basel) 2020; 9(10): 925.
30. Kara A, Cetin H, Oktem F, Metin Ciris I, Altuntas I, Kaya S. Amikacin induced renal damage and the role of the antioxidants on neonatal rats. Ren Fail 2016; 38(5): 671-677.
31. Helmy A, El-Shazly M, Omar N, Rabeh M, Abdelmohsen UR, Tash R, et al. Increment of lysosomal biogenesis by combined extracts of gum arabic, parsley, and corn silk: A reparative mechanism in mice renal cells. Evid Based Complement Alternat Med 2020; 2020: 8631258.
32. Luo M, Dong L, Li J, Wang Y, Shang B. Protective effects of pentoxifylline on acute liver injury induced by thioacetamide in rats. Int J Clin Exp Pathol 2015; 8(8): 8990.
33. Ranjbar A, Baeeri M. The effect of pentoxifylline on malathion-induced mitochondrial damage in rat liver. J Shahrekord Univ Med Sci 2013; 66(4): 1-9 (Persian).
34. Ayinde OC, Ogunnowo S, Ogedegbe RA. Influence of Vitamin C and Vitamin E on testicular zinc content and testicular toxicity in lead exposed albino rats. BMC Pharmacol Toxicol 2012; 13(1): 1-8.
35. Shinde AV, Ganu JV. Current concepts in the treatment of alcoholic liver disease. Biomed Res 2010; 21(3): 321-325.
36. Shahroziyan E, Ghazi Khansari M, Daraei B, Javaheri A, Moghadam Jafari A, Sadeghi Hashjin G. The pretreatment effects of pentoxifylline on aflatoxin B1-induced oxidative damage in perfused rat liver. Int J Vet Res 2011; 5(1): 43-47 (Persian).
37. Strutz F, Heeg M, Kochsieck T, Siemers G, Zeisberg M, Müller GA. Effects of pentoxifylline, pentifylline and γ -interferon

- on proliferation, differentiation, and matrix synthesis of human renal fibroblasts. *Nephrol Dial Transplant* 2000; 15(10): 1535-1546.
38. Chen Y-M, Chiang W-C, Lin S-L, Tsai T-J. Therapeutic efficacy of pentoxifylline on proteinuria and renal progression: an update. *J Biomed Sci* 2017; 24(1): 84.
39. Donate-Correa J, Sanchez-Niño MD, González-Luis A, Ferri C, Martín-Olivera A, Martín-Núñez E, et al. Repurposing drugs for highly prevalent diseases: pentoxifylline, an old drug and a new opportunity for diabetic kidney disease. *Clinical Kidney J* 2022; 15(12): 2200-2213.